

## Динамика малоугловых доменных границ во внешнем осциллирующем магнитном поле

К. И. Примак, А. Л. Сукстанский

Донецкий физико-технический институт им. А. А. Галкина НАН Украины,  
Украина, 340114, г. Донецк, ул. Р. Люксембург, 72  
E-mail: sukstan@purr.dipt.donetsk.ua

Статья поступила в редакцию 17 июня 1997 г., после переработки 7 августа 1997 г.

Изучена динамика малоугловых доменных границ, существующих в легкоосном ферромагнетике вблизи спин-переориентационного фазового перехода во внешнем планарном магнитном поле. Найдена зависимость скорости дрейфа от амплитуды, частоты и поляризации осциллирующего поля.

Вивчено динаміку малокутових доменних меж, які існують у легковісному феромагнетику поблизу спін-переорієнтаційного фазового переходу у зовнішньому планарному магнітному полі. Знайдено залежність швидкості дрейфу від амплітуди, частоти і поляризації осцилюючого поля.

PACS: 75.60.Ch, 75.40.Gb

Экспериментальному и теоретическому изучению динамики доменных границ (ДГ) в различных магнитоупорядоченных кристаллах посвящено огромное количество работ, в которых основное внимание уделяется анализу двух основных типов движения ДГ: поступательного в постоянном внешнем магнитном поле и колебательного в осциллирующем внешнем поле. Однако существует еще один тип движения ДГ, который может возникать под действием внешнего осциллирующего поля, — дрейфовое движение ДГ, т.е. появление постоянной составляющей скорости движения границы. Экспериментально явление дрейфа ДГ наблюдалось в [1,2], а в работах [3,4] аналогичный эффект был обнаружен для другого вида топологических солитонов — блоховских линий.

Теоретически явление дрейфа ДГ в ферромагнетиках было предсказано в работе [5] на основе энергетических соображений. Более последовательный подход к решению рассматриваемого класса задач, базирующийся на специфической теории возмущений для солитонов, был предложен в работе [6] при изучении дрейфа блоховских линий. В настоящее время дрейф ДГ во внешнем осциллирующем магнитном поле изучен достаточно подробно практически для всех основных типов магнетиков [7–10]. Кроме того, в работе [11] предсказана

возможность дрейфа ДГ в сегнетомагнетиках во внешнем осциллирующем электрическом поле, а в работе [12] — дрейф ДГ под действием сильной звуковой волны.

Однако во всех этих работах изучался дрейф только 180°-ных ДГ, существующих вдали от областей спин-переориентационных фазовых переходов. Как известно, вблизи таких переходов структура и динамические свойства ДГ существенно отличаются от свойств обычных 180°-ных границ. Типичным примером спин-переориентационного фазового перехода является хорошо известный фазовый переход в ферромагнетике с магнитной анизотропией типа «легкая ось» в планарном магнитном поле, близком к полю анизотропии. Вблизи этого фазового перехода составляющая вектора намагниченности  $\mathbf{M}$ , коллинеарная оси анизотропии (оси Z), мала в меру близости к точке фазового перехода, и угол разворота вектора  $\mathbf{M}$  в ДГ, разделяющей домены с противоположными значениями  $M_z$ , также мал (именно такие ДГ мы будем называть малоугловыми). Как показано в работе [13], динамика малоугловой ДГ может быть описана в рамках «лоренц-инвариантной» модели  $\Phi^4$  (см. ниже) в отличие от обычных 180°-ных ДГ в ферромагнетиках, динамика которых такой инвариантностью не обладает. В этой связи

представляет определенный интерес исследование динамики малоугловых ДГ во внешнем осциллирующем магнитном поле, что и является целью настоящей работы.

Итак, рассмотрим ферромагнетик с магнитной анизотропией типа «легкая ось», помещенный во внешнее планарное постоянное магнитное поле  $\mathbf{H}_0$  и переменное поле  $\tilde{\mathbf{H}}(t)$ , ориентированное в плоскости ДГ. Выберем декартову систему координат таким образом, чтобы ось анизотропии совпадала с осью  $Z$ , а ось  $Y$  — с направлением постоянного планарного поля  $\mathbf{H}_0$ .

Будем исходить из энергии ферромагнетика, записанной в стандартном виде:

$$W = \int d\mathbf{r} \left\{ \frac{\alpha}{2} (\nabla \mathbf{M})^2 - \frac{\beta}{2} M_z^2 - \mathbf{H} \cdot \mathbf{M} \right\}, \quad (1)$$

где  $\mathbf{M}$  — вектор намагниченности;  $\alpha$  и  $\beta$  — константы обменного взаимодействия и анизотропии соответственно;  $\mathbf{H} = \mathbf{H}_0 + \tilde{\mathbf{H}}(t)$  — внешнее магнитное поле. В выражении (1) не учитываем магнитодипольное взаимодействие, так как вблизи рассматриваемого спин-переориентационного фазового перехода влияние этого взаимодействия на динамические свойства ДГ мало и им можно пренебречь [13,14].

Статические и динамические свойства ферромагнетика определяются уравнениями движения для вектора намагниченности  $\mathbf{M}$  (уравнения Ландау—Лифшица):

$$\dot{\mathbf{M}} = -g [\mathbf{M}, \mathbf{H}_e] + \frac{\lambda_r}{M_0} [\mathbf{M}, \dot{\mathbf{M}}], \quad \mathbf{H}_e = -\frac{\delta W}{\delta \mathbf{M}}, \quad (2)$$

где  $M_0 = |\mathbf{M}|$  — намагниченность насыщения;  $g$  — гиромагнитное отношение;  $\lambda_r$  — релаксационная константа; точка обозначает производную по времени.

Параметризуя вектор намагниченности  $\mathbf{M}$  двумя независимыми угловыми переменными  $\theta$  и  $\phi$ ,

$$\mathbf{M} = M_0(\cos \theta \sin \phi, \cos \theta \cos \phi, \sin \theta), \quad (3)$$

уравнения движения (2) можно записать в виде

$$\begin{aligned} \frac{\dot{\phi}}{gM_0} \cos \theta + \alpha \Delta \theta + (\beta + \alpha \phi'^2) \sin \theta \cos \theta + \\ + h_z \cos \theta - h_y \sin \theta \cos \phi = \frac{\lambda_r}{gM_0} \dot{\theta}; \end{aligned} \quad (4)$$

$$\begin{aligned} -\frac{\dot{\theta}}{gM_0} \cos \theta + \alpha(\phi' \cos^2 \theta)' - \\ - h_y \cos \theta \sin \phi = \frac{\lambda_r}{gM_0} \dot{\phi} \cos^2 \theta \end{aligned} \quad (5)$$

где  $h_y(t) = (H_0 + \tilde{H}_y(t))/M_0$ ,  $h_z(t) = \tilde{H}_z(t)/M_0$ , а штрих обозначает дифференцирование по координате  $X$  (в дальнейшем мы ограничимся только одномерными решениями уравнения движения). При записи уравнений (4), (5) мы учли, что в выбранной геометрии плоскость границы совпадает с плоскостью  $(YZ)$ , и переменное внешнее поле, ориентированное в этой плоскости, имеет две отличные от нуля составляющие  $\tilde{H}_y(t)$  и  $\tilde{H}_z(t)$ . В дальнейшем будем считать, что поле  $\tilde{\mathbf{H}}(t)$  — монохроматическое частотой  $\omega$ , и между его компонентами существует некоторый сдвиг фаз  $\chi$  (как мы убедимся ниже, интересующая нас скорость дрейфа ДГ существенно зависит от величины  $\chi$ ):

$$\tilde{H}_z(t) = H_{z0} \cos \omega t, \quad \tilde{H}_y(t) = H_{y0} \cos(\omega t + \chi). \quad (6)$$

Если постоянное внешнее магнитное поле меньше поля анизотропии ( $H_0 < H_a = \beta M_0$ ), а переменное поле отсутствует, то в равновесном однородном состоянии вектор намагниченности  $\mathbf{M}$  лежит в плоскости  $(YZ)$  ( $\phi = 0$ ) и составляет с осью  $Y$  угол  $\theta_* = \pm \arccos(H_0/\beta M_0)$ . При  $H_0 = \beta M_0$  имеет место фазовый переход второго рода в fazu с планарной ориентацией вектора  $\mathbf{M}$  ( $\theta_* = 0$ ). Статическое одномерное решение уравнений (4), (5), описывающее ДГ, которая разделяет два домена с  $M_z = M_0 \sin \theta_*$  и  $M_z = -M_0 \sin \theta_*$ , может быть представлена в виде [15]

$$\sin \theta(x) = \sin \theta_* \frac{\operatorname{sh}[(x/x_0) \sin \theta_*]}{\operatorname{ch}[(x/x_0) \sin \theta_*] + \cos \theta_*}. \quad (7)$$

Точное распределение намагниченности в движущейся ДГ при наличии планарного поля в аналитическом виде получить не удается, однако ряд характерных особенностей движущейся ДГ качественно проанализирован (см. [13,14]). В частности, в этих работах была найдена эффективная масса ДГ как функция внешнего планарного поля и вычислена предельная скорость стационарного движения ДГ. В работе [13] показано, что в сильном планарном поле, близком к полю анизотропии, т.е. в том случае, когда параметр  $\epsilon = (1 - H/H_a)^{1/2} \ll 1$ , в основном приближении по этому малому параметру динамика ДГ может быть описана в

рамках хорошо известной модели « $\Phi^4$ ». Действительно, если  $\varepsilon \ll 1$ , то в ДГ угол  $\theta$  мал,  $|\theta| \leq \theta_* \approx \sqrt{2} \varepsilon \ll 1$ . Оставляя в уравнении (5) только линейные по параметру  $\varepsilon$  слагаемые, угол  $\phi$  можно выразить через угол  $\theta$ :

$$\phi \approx -\frac{\dot{\theta}}{gH_0}. \quad (8)$$

Подставляя (8) в уравнение (4), в основном по параметру  $\varepsilon$  приближении получаем

$$x_0^2 \Phi'' - \frac{1}{\omega_0^2} \ddot{\Phi} - 2(\Phi^3 - \Phi) - h_1(t) - 2h_2(t)\Phi - \frac{\lambda}{\omega_0} \dot{\Phi} = 0, \quad (9)$$

где введены обозначения:

$$\begin{aligned} \Phi &= \frac{\theta}{\sqrt{2} \varepsilon}, \quad x_0^2 = \frac{2\alpha}{\beta\varepsilon^2}, \quad \omega_0^2 = \frac{g^2 H_0 H_a \varepsilon^2}{2}, \\ \lambda &= \frac{\lambda_r}{\varepsilon} \left( \frac{2H_0}{H_a} \right)^{1/2}, \quad h_1(t) = -\frac{\sqrt{2}}{H_a \varepsilon^3} \tilde{H}_z(t), \\ h_2(t) &= \frac{\tilde{H}_y(t)}{H_a \varepsilon^2}. \end{aligned}$$

Нетрудно убедиться, что уравнение (9) есть уравнение Эйлера—Лагранжа для системы, описываемой функцией Лагранжа  $L$ , которая характерна для модели « $\Phi^4$ » во внешнем поле,

$$L = \int dx \left\{ \frac{1}{2\omega_0^2} \dot{\Phi}^2 - \frac{x_0^2}{2} \Phi'^2 - \frac{1}{2} (\Phi^2 - 1)^2 - [h_1(t)\Phi + h_2(t)\Phi^2] \right\}, \quad (10)$$

и диссипативной функцией  $Q$ ,

$$Q = \frac{\lambda}{2\omega_0} \int dx \dot{\Phi}^2. \quad (11)$$

Отметим, что, хотя в общем случае динамика ферромагнетика описывается уравнениями (4), (5), которые не обладают ни лоренцевской, ни галилеевской инвариантностью, модель « $\Phi^4$ », адекватная вблизи точки фазового перехода, является «лоренц-инвариантной» с характерной скоростью  $c = x_0 \omega_0 = g(\alpha M_0 H_0)^{1/2}$ . Поэтому в отличие от общего случая нетрудно построить динамические решения уравнений движения, если известно соответствующее статическое решение. Например, статическое решение уравнения (9)

без учета внешнего осциллирующего поля и затухания, удовлетворяющее граничным условиям  $\Phi_0(\pm\infty) = \pm 1$ ,  $\Phi'_0(\pm\infty) = 0$  и описывающее покоящуюся ДГ, имеет вид

$$\Phi_0(x) = \operatorname{th} \left( \frac{x}{x_0} \right), \quad (12)$$

где  $x_0$  имеет смысл толщины ДГ (кинка).

Соответствующее динамическое решение, отвечающее движущейся с постоянной скоростью  $V$  границе, получается из (12) стандартной «релятивистской» заменой  $x \rightarrow (x - Vt)/(1 - V^2/c^2)^{1/2}$ . Предельная скорость стационарного движения ДГ равна  $c$ .

При учете взаимодействия с переменным внешним полем и затухания «лоренц-инвариантность» уравнения (9), естественно, отсутствует и поэтому для его решения, следяя [7–10], воспользуемся одной из версий теории возмущений для солитонов, считая амплитуду внешнего магнитного поля (и, следовательно, «полей»  $h_1$  и  $h_2$  в уравнении (9)) достаточно малыми. Для этого определим колективную переменную  $X(t)$  как координату центра ДГ в произвольный момент времени  $t$  и будем искать решение уравнения (9) в виде

$$\Phi(x, t) = \Phi_0(\xi) + \psi_1(\xi, t) + \psi_2(\xi, t) + \dots, \quad (13)$$

где  $\xi = x - X(t)$ ; индексы  $n = 1, 2, \dots$  указывают на порядок малости величины по амплитуде внешнего осциллирующего поля ( $\psi_n \sim h^n$ ). Функция  $\Phi_0(\xi)$  описывает движение неискаженного кинка и ее структура такая же, как и в статическом решении (12) (в силу малости внешнего осциллирующего поля, амплитуда изменения скорости кинка также мала,  $V \ll c$ , и поэтому «лоренцевским» сокращением толщины кинка можно пренебречь). Слагаемые  $\psi_n(\xi, t)$  ( $n = 1, 2, \dots$ ) описывают искажение формы ДГ и возбуждение спиновых волн при ее движении.

Скорость дрейфа ДГ определяется как среднее значение мгновенной скорости ДГ  $V(t) = \dot{X}(t)$  по периоду осцилляций,  $V_{\text{dr}} = \overline{V(t)}$ , где черта означает усреднение по периоду колебаний внешнего поля. Скорость ДГ  $V$  также представим в виде ряда по степеням амплитуды внешнего поля, имея в виду, что нас интересует только вынужденное движение ДГ:

$$V = V_1 + V_2 + \dots, \quad V_n \sim h^n. \quad (14)$$

Подставим разложения (13) и (14) в уравнение (9) и выделим слагаемые различных порядков малости. Очевидно, что в нулевом приближении

получим уравнение, описывающее покоящуюся ДГ, и его решение имеет вид (12). Уравнение первого порядка теории возмущений можно представить в виде

$$\begin{aligned} & \left( \hat{L} + \frac{1}{\omega_0^2} \frac{\partial^2}{\partial t^2} + \frac{\lambda}{\omega_0} \frac{\partial}{\partial t} \right) \psi_1(\xi, t) = \\ & = \left( \frac{\dot{V}_1}{\omega_0^2} + \frac{\lambda V_1}{\omega_0} \right) \Phi'_0(\xi) - \left( h_1(t) + h_2(t) \Phi_0(\xi) \right), \end{aligned} \quad (15)$$

где оператор  $\hat{L}$  имеет вид оператора Шредингера с безотражательным потенциалом:

$$\hat{L} = -x_0^2 \frac{d^2}{d\xi^2} + 4 - \frac{6}{\operatorname{ch}^2 \xi/x_0}. \quad (16)$$

Спектр и волновые функции оператора  $\hat{L}$  хорошо известны. В отличие от моделей магнетиков, исследованных в работах [7–12], оператор  $\hat{L}$  обладает не одним, а двумя дискретными уровнями с собственными значениями  $\lambda_1$  и  $\lambda_2$ , которым соответствуют локализованные волновые функции  $u_1(\xi)$  и  $u_2(\xi)$ :

$$\begin{aligned} u_1(\xi) &= \frac{A_1}{\operatorname{ch}^2(\xi/x_0)}, \quad \lambda_1 = 0, \quad A_1 = \left( \frac{3}{4x_0} \right)^{1/2}; \\ u_2(\xi) &= \frac{A_2 \operatorname{sh}(\xi/x_0)}{\operatorname{ch}^2(\xi/x_0)}, \quad \lambda_2 = 3, \quad A_2 = \left( \frac{3}{2x_0} \right)^{1/2}, \end{aligned} \quad (17)$$

а также непрерывным спектром  $\lambda_k = 4 + (kx_0)^2$ , которому соответствуют собственные функции  $u_k$ ,

$$\begin{aligned} u_k(\xi) &= A_k \left[ 3 \operatorname{th}^2(\xi/x_0) - 3ikx_0 \operatorname{th}(\xi/x_0) - \right. \\ &\quad \left. - (1 + k^2x_0^2) \right] \exp(ik\xi), \\ A_k &= \left[ (1 + k^2x_0^2)(4 + k^2x_0^2)L \right]^{1/2}, \end{aligned} \quad (18)$$

где  $L$  — длина кристалла.

Функции  $\{u_1, u_2, u_k\}$  образуют полный ортонормированный набор, и решения уравнения (15) естественно искать в виде разложения по этому набору. Для монохроматического внешнего поля частотой  $\omega$  положим

$$\psi_1(\xi, t) = \operatorname{Re} \left\{ e^{i\omega t} \left[ c_1 u_1(\xi) + c_2 u_2(\xi) + \sum_k c_k u_k(\xi) \right] \right\}. \quad (19)$$

Здесь следует сделать одно существенное замечание. Уравнение (15) описывает возбуждение линейных спиновых волн на фоне ДГ. Первое слагаемое в разложении функции

$\psi_1(\xi, t)$  отвечает сдвиговой (голдстоуновской) моде, т.е. движению ДГ как целого. Однако соответствующая степень свободы уже учтена введением коллективной координаты  $X(t)$  в определении переменной  $\xi$ . Поэтому в разложении (19) сдвиговая мода должна быть опущена, т.е. следует положить  $c_1 = 0$  (детальное обсуждение этого вопроса см. в монографии [16]). Это условие приводит к требованию ортогональности функции  $u_1(\xi)$  в правой части уравнения (15), что в свою очередь определяет уравнение для скорости ДГ  $V_1(t)$  в линейном по внешнему осциллирующему полю приближении:

$$\dot{V}_1 + \lambda \omega_0 V_1 = \frac{3}{2} c \omega_0 h_1(t). \quad (20)$$

Решение уравнения (20) описывает колебания ДГ в осциллирующем внешнем поле, причем эти колебания возбуждаются только  $Z$ -компонентой поля. Как легко видеть,  $V_1(t) = 0$ , т.е. дрейф ДГ в линейном по переменному полю приближении отсутствует.

Коэффициенты  $c_2$  и  $c_k$  в разложении (19), определяющие амплитуды локализованной на ДГ и нелокализованных (внутридоменных) спиновых волн, находятся стандартным образом путем умножения правой части уравнения (15) на  $u_2^*(\xi)$  или  $u_k^*(\xi)$  и интегрирования по переменной  $\xi$ . После несложных вычислений получаем

$$\begin{aligned} c_2 &= - \frac{\pi x_0 A_2}{3 - \Omega^2 + i\lambda\Omega} h_{20}, \\ c_k &= - \frac{\pi x_0 A_k}{4 + k^2 x_0^2 - \Omega^2 + i\lambda\Omega} \times \\ &\quad \times \left[ 4\delta(kx_0)h_{10} - \frac{i(4 + k^2 x_0^2)}{\operatorname{sh}(\pi k x_0/2)} h_{20} \right], \end{aligned} \quad (21)$$

где  $\Omega = \omega/\omega_0$ ,  $h_{10} \sim H_{z0}$  и  $h_{20} \sim H_{y0}$  — амплитуды соответствующих полей,  $\delta(x)$  —  $\delta$ -функция Дирака.

Видим, что  $Y$ -компоненты осциллирующего поля приводят к возбуждению как локализованных на ДГ, так и внутридоменных спиновых волн, а  $Z$ -компоненты возбуждают только внутридоменные спиновые волны с  $k = 0$ .

Перейдем теперь к анализу уравнения второго приближения по амплитуде внешнего поля. Соответствующее уравнение для функции  $\psi_2(\xi, t)$  после усреднения по периоду колебаний осцилляций может быть представлено в виде

$$\hat{L}\Phi_2(\xi) = -\frac{1}{\omega_0^2} \overline{V_1^2(t)} \Phi_0''(\xi) - 6\Phi_0(\xi) \overline{\psi_1^2(\xi, t)} - \\ - 2\overline{h_2(t)\psi_1(\xi, t)} + \frac{\lambda}{\omega_0} \overline{V_2(t)} \Phi_0'(\xi), \quad (22)$$

где  $\Phi_2(\xi) = \overline{\psi_2(\xi, t)}$ .

Так же, как и в уравнении первого приближения (15), мы должны потребовать, чтобы в разложении функции  $\Phi_2(\xi)$  по собственным функциям оператора  $L$  отсутствовала сдвиговая мода, т.е. необходимо, чтобы правая часть уравнения (22) была ортогональна функции  $u_1(\xi)$  (17). Отсюда находим выражение для скорости дрейфа  $V_{dr} = \overline{V_2(t)}$ :

$$V_{dr} = \frac{9x_0\omega_0}{\lambda} \int_{-\infty}^{+\infty} d\xi \left[ \Phi_0(\xi) \overline{\psi_1^2(\xi, t)} + \frac{1}{3} \overline{h_2(t)\psi_1(\xi, t)} \right] \Phi_0'(\xi). \quad (23)$$

Подставляя в (23)  $\Phi_0(\xi)$  из (12) и используя разложение (19) для функции  $\psi_1(\xi, t)$  с коэффициентами из (21), выполняя усреднение по периоду колебаний и интегрирование в (23), получаем

$$V_{dr} = \mu_{12} h_{10} h_{20}, \quad \mu_{12}(\Omega, \chi) = \\ = \mu_{12}^0 \left\{ 3\pi \frac{[(3 - \Omega^2)(4 - \Omega^2) + \lambda^2\Omega^2] \cos \chi + \lambda\Omega \sin \chi}{[(3 - \Omega^2)^2 + \lambda^2\Omega^2][(4 - \Omega^2)^2 + \lambda^2\Omega^2]} + \frac{1}{(4 - \Omega^2)^2 + \lambda^2\Omega^2} [I_1(\Omega, \lambda) \cos \chi + I_2(\Omega, \lambda) \sin \chi] \right\}, \quad (24)$$

где величина  $\mu_{12}$  имеет смысл нелинейной подвижности ДГ.

$$\mu_{12}^0 = \frac{9\pi x_0 \omega_0}{2^7 \lambda}, \\ I_1(\Omega, \lambda) = \int_{-\infty}^{\infty} \frac{x^4(4 + x^2)[(4 - \Omega^2)(4 - \Omega^2 + x^2) + \lambda^2\Omega^2]}{(1 + x^2)[(4 - \Omega^2 + x^2)^2 + \lambda^2\Omega^2] \operatorname{sh}^2\left(\frac{\pi x}{2}\right)} dx, \\ I_2(\Omega, \lambda) = \lambda \Omega \int_{-\infty}^{\infty} \frac{x^6(4 + x^2)}{(1 + x^2)[(4 - \Omega^2 + x^2)^2 + \lambda^2\Omega^2] \operatorname{sh}^2\left(\frac{\pi x}{2}\right)} dx.$$

Зависимость функции  $\mu_{12}$  от безразмерной частоты  $\Omega$  при различных значениях сдвига фаз  $\chi$  представлена на рис. 1.

Формула (24) определяет скорость дрейфа ДГ в модели « $\Phi^4$ », описываемой функцией Лагранжа (10). Переходя к исходным размерным параметрам магнетика, запишем скорость дрейфа малоугловой ДГ в виде

$$V_{dr} = \mu_{yz}(\omega, \chi) H_{z0} H_{y0}, \quad (25)$$

где нелинейная подвижность ДГ  $\mu_{yz}(\omega, \chi)$  определяется выражением, аналогичным (24), с характерным значением  $\mu_{yz}^0$  равным

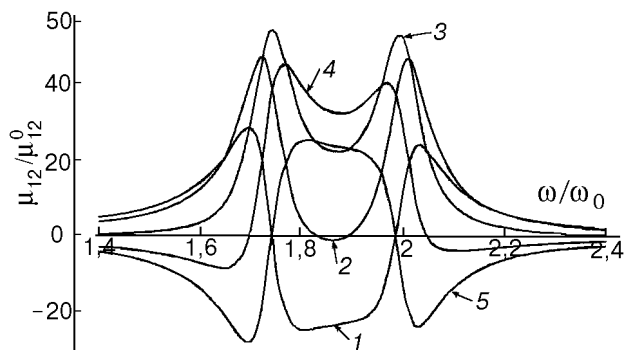


Рис. 1. Частотная зависимость нелинейной подвижности при  $\lambda = 0,1$  и различных значениях сдвига фаз  $\chi$ : 0 (1);  $\pi/4$  (2);  $\pi/2$  (3);  $3\pi/4$  (4);  $\pi$  (5).

$$\mu_{yz}^0 = - \frac{9\pi g}{2^3 \lambda_r H_a \epsilon^4} \left( \frac{\alpha}{\beta} \right)^{1/2}. \quad (26)$$

Используя типичные для ферромагнетика параметры  $g \sim 2 \cdot 10^7 \text{ c}^{-1} \text{ Э}^{-1}$ ,  $\lambda_r \sim 10^{-2}$ ,  $(\alpha\beta)^{1/2} \sim 10^{-6} \text{ см}$ ,  $H_a \sim 5 \cdot 10^3 \text{ Э}$  и полагая  $\epsilon = 10^{-1}$ , для полей порядка  $H_{z0} \sim H_{y0} \sim 1 \text{ Э}$  получаем скорость дрейфа  $V_0 = |\mu_{yz}^0| H_{y0} H_{z0} \sim 10 \text{ м/с}$ .

Отметим, что значение коэффициента нелинейной подвижности  $\text{ДГ } \mu_{yz}^0$  (26) значительно (на 1–2 порядка) превосходит соответствующий коэффициент, определяющий скорость дрейфа обычных 180°-ных ДГ, существующих в ферромагнетиках вдали от точки фазового перехода [7]. При приближении к точке фазового перехода, т.е. при уменьшении параметра  $\epsilon$ , коэффициент нелинейной подвижности, согласно (26), возрастает пропорционально  $\epsilon^{-4}$ , что обусловлено уменьшением массы малоугловой ДГ [13]. Однако при численной оценке скорости дрейфа следует иметь в виду, что использованная выше теория возмущений справедлива лишь при  $h_{10}, h_{20} \ll 1$ , т.е. в достаточно слабом осциллирующем магнитном поле,  $H_{z0} \leq H_a \epsilon^3$ ,  $H_{y0} \leq H_a \epsilon^2$ . Поэтому характерное значение дрейфовой скорости ДГ  $V_0$ , которая может быть адекватно описана в рамках развитой выше теории возмущений, пропорционально малому параметру  $\epsilon$ . Очевидно, что ДГ может дрейфовать и с большей скоростью, но в этом случае для анализа динамики ДГ следует развить более общую теорию.

1. Ю. Н. Драгошанский, Е. Б. Хан, В. А. Зайкова, *ФММ* **39**, 289 (1975).
2. В. К. Власко-Власов, Л. М. Дедух, В. И. Никитенко, Л. С. Успенская, *ФТТ* **24**, 1255 (1982).

3. В. С. Горнаков, Л. М. Дедух, В. И. Никитенко, *ФММ* **84**, 1505 (1984).
4. L. M. Dedukh, V. S. Gornakov, and V. L. Nikitenko, *Phys. Status Solidi A* **75**, 117 (1983).
5. E. Schlossmann and J. D. Miln, *IEEE Trans. Magn.*, **Magn. 10**, 791 (1974).
6. С. В. Иорданский, В. И. Марченко, *ЖЭТФ* **91**, 1867 (1986).
7. В. Г. Баръяхтар, Ю. И. Горобец, С. И. Денисов, *ЖЭТФ* **98**, 1345 (1990).
8. В. С. Герасимчук, А. Л. Сукстанский, *ЖЭТФ* **103**, 151 (1993).
9. В. С. Герасимчук, А. Л. Сукстанский, *ФНТ* **20**, 142 (1994).
10. V. S. Gerasimchuk and A. L. Sukstanskii, *J. Magn. Magn. Mater.* **146**, 323 (1995).
11. В. С. Герасимчук, А. Л. Сукстанский, *Ferroelectrics* **162**, 293 (1994).
12. В. С. Герасимчук, А. Л. Сукстанский, *ЖЭТФ* **106**, 1146 (1994).
13. Б. А. Иванов, В. П. Краснов, Е. В. Тартаковская, *Письма в ЖТФ* **13**, 341 (1987).
14. B. A. Ivanov, N. E. Kulagin, and K. A. Safaryan, *Physica* **B202**, 193 (1994).
15. J. Kaczer and R. Gemperle, *Czech. J. Phys.* **B11**, 157 (1971).
16. Р. Раджараман, *Солитоны и инстантоны в квантовой теории поля*, Мир, Москва (1985).

### Dynamics of small-angle domain walls in external oscillating magnetic field

K. I. Primak and A. L. Sukstansky

The dynamics of small-angle domain walls, existing in an easy-axis ferromagnet in the vicinity of the spin-reorientation phase transition in an external in-plane magnetic field, is studied. The dependence of the drift velocity on the amplitude, frequency and polarization of the oscillating field is obtained.